

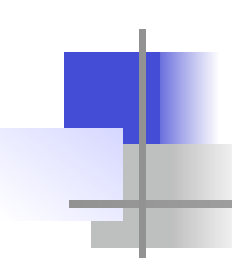
Vers la modélisation multi-physiques de procédés de soudage à l'arc

Marc MEDALE

Polytech' Marseille et IUSTI (UMR 7343 CNRS - Université Aix-Marseille)

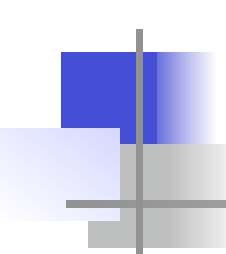
Collaborations:

- S. GOUNAND, O. ASSERIN, CEA Saclay (DEN/DANS/DM2S/SEMT/LTA);
- P. GILLES, M. BROCHARD, X. KONG, AREVA-NP (Dir. Rech. Innov.), Paris;



Plan de la présentation

- Etat de l'art en simulation numérique du soudage
- Trois niveaux de modélisation en thermique
 - Modèle des sources internes fictives
 - Modèle thermique centré sur l'assemblage
 - Modèle multi-physiques (cathode-arc-anode)
- Conclusions et perspectives

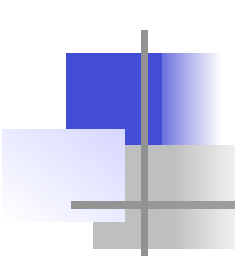


Les procédés de soudage par fusion

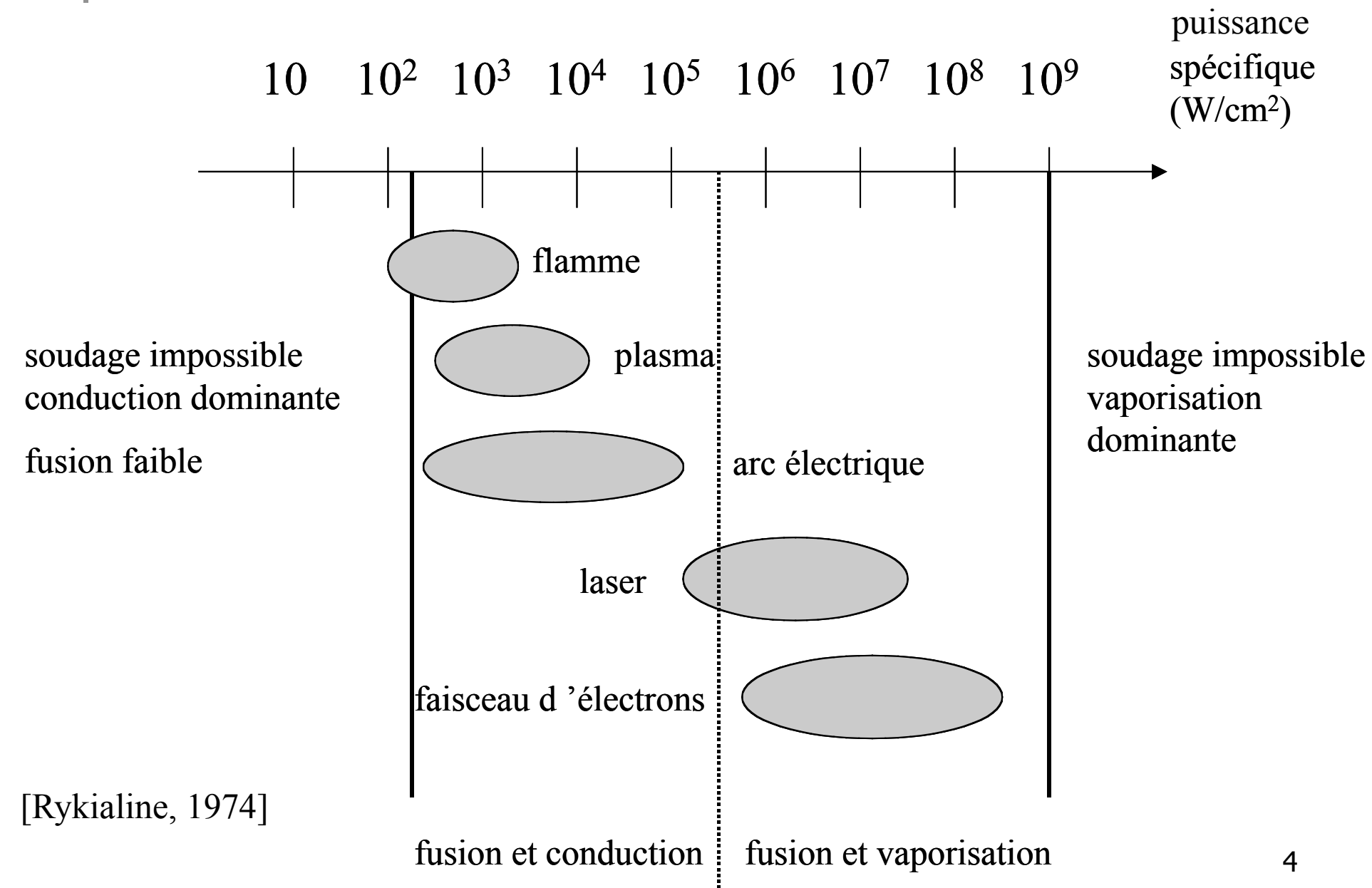
- Plusieurs procédés : arc, laser, faisceau d'électrons, etc. ;
- Procédés d'assemblage permanent, incontournables dans l'industrie;
- Responsable de limitations et défaillances :
 - limitations dans la réalisation des pièces à assembler ;
 - affaiblissement des performances mécaniques du joint (résistance mécanique, fatigue, fissuration, etc.);
 - Enjeu important pour la compétitivité industrielle.

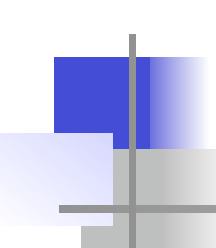


Nécessité d'enrichir la compréhension des procédés en vue de leur optimisation

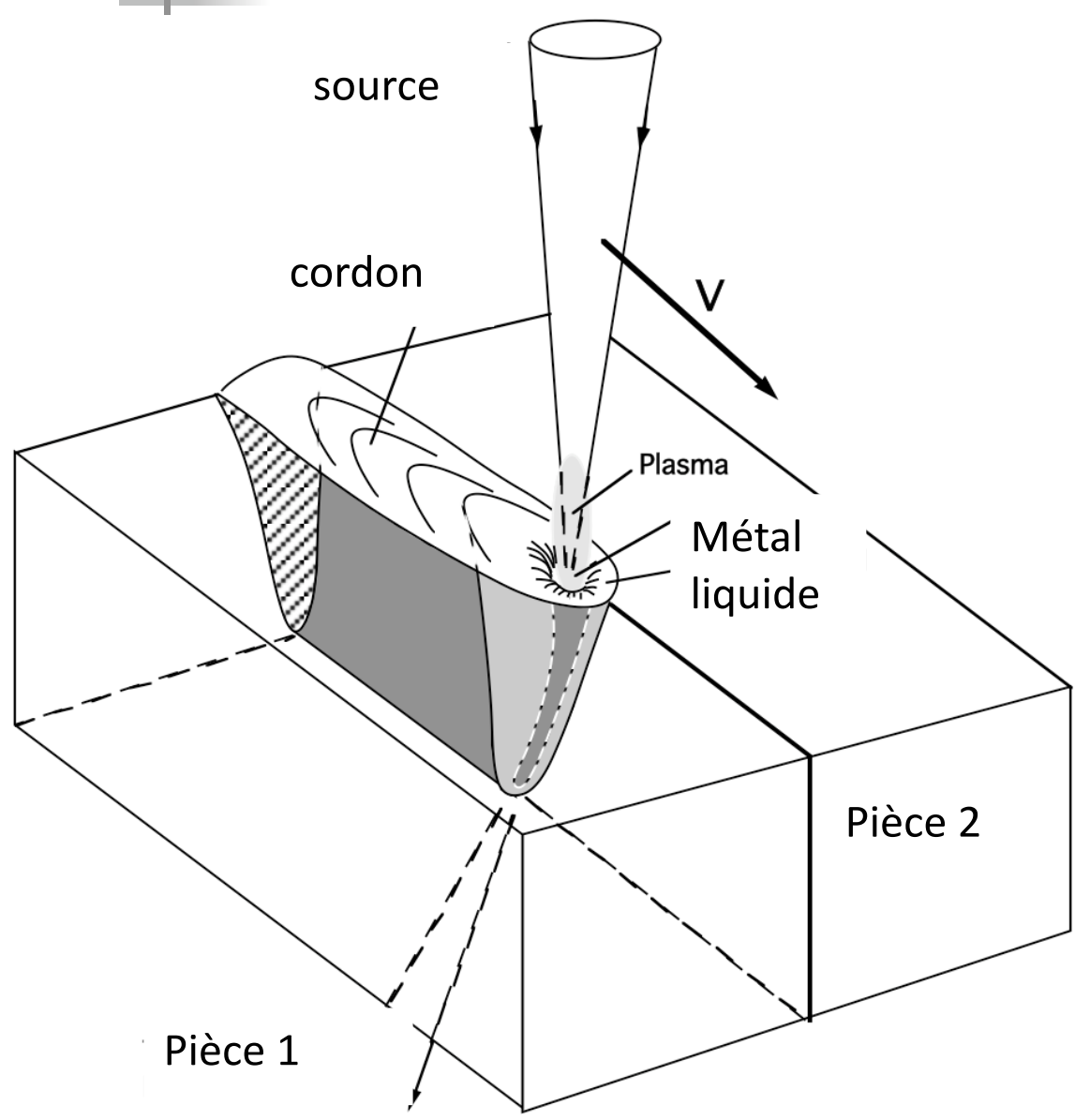


Caractéristiques des procédés en soudage par fusion





Aspects multi-physiques du soudage par fusion



Dépôt d'énergie Interactions source - assemblage => flux incident effectif

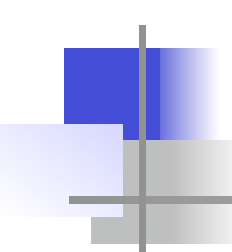
Transferts thermiques couplés => Carte des températures dans tout l'assemblage

Thermo-Métallurgie => Composition, propriétés

Refroidissement à temp.

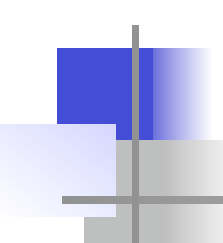
ambiante

> Déformations et contraintes



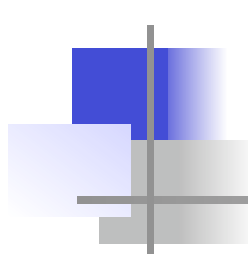
Phénomènes physiques impliqués en soudage à l'arc

- Dépôt d'énergie : interaction source pièces à assembler
 - Nature de la source (électrode), densité d'énergie (plasma), gaz de protection, métal d'apport, matériaux (prop. thermo-physiques)
- Transferts thermiques dans l'assemblage
 - Changements de phase (solide-liquide-vapeur), convection, diffusion, rayonnement, échanges avec l'extérieur, variation de propriétés, etc.
- Refroidissement à température ambiante
 - Métallurgie, déformations thermo-mécaniques, contraintes résiduelles, endommagement, fissuration, etc.



État de l'art en simulation numérique du soudage

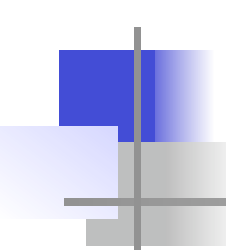
- Outils métier
 - SYSWELD (sources et transferts simplifiés, métallurgie et mécanique) ;
 - DB-LASIM (modèles simplifiés pour applications en soudage laser);
- Outils génériques
 - COMSOL: nombreux modèles physiques;
 - CAST3M (CEA), Codes Aster/Saturne (EDF): en développement;
- Outils de recherche
 - Spécialisés sur une ou plusieurs parties du problème (interfaces ?);
- Aucun outil ne permet en 2012 de simuler l'intégralité d'un procédé de soudage par fusion : cela reste à faire !!!



État de l'art en simulation numérique du soudage

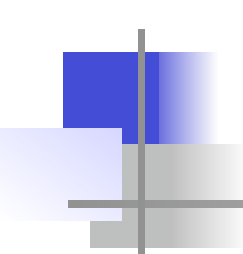
• Pourquoi a-t-on besoin de modèles simplifiés pour la simulation du soudage ?

- Problèmes multi-physiques fortement couplés (thermique, mécanique des fluides, métallurgie, mécanique des solides);
- Fortement non-linéaire et transitoire ;
- Problèmes 3D, multi-échelles (spatiales et temporelles);



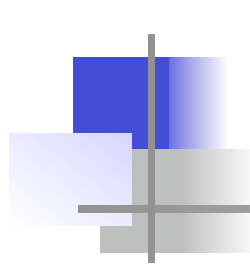
Stratégies numériques problèmes multi-physiques

- Couplages faibles (itératifs)
 - Approche explicite (pas de temps critique);
 - Partitionnement ('segregated');
 - Réutilisation de codes spécialisés existants ;
 - Limités pour les fortes non-linéarités
- Couplages forts (directs)
 - Approche implicite;
 - Approche monolytique : 1 code par problème
 - Approche partitionnée pointue :
 - Synchrone : communications en cours de résolution (MPI-2)
 - Asynchrone : Systèmes couplés algébriquement : Differential Algebraic Equations; interfaces de communication (PALM, CTL, etc).



Plusieurs modèles de transferts thermiques

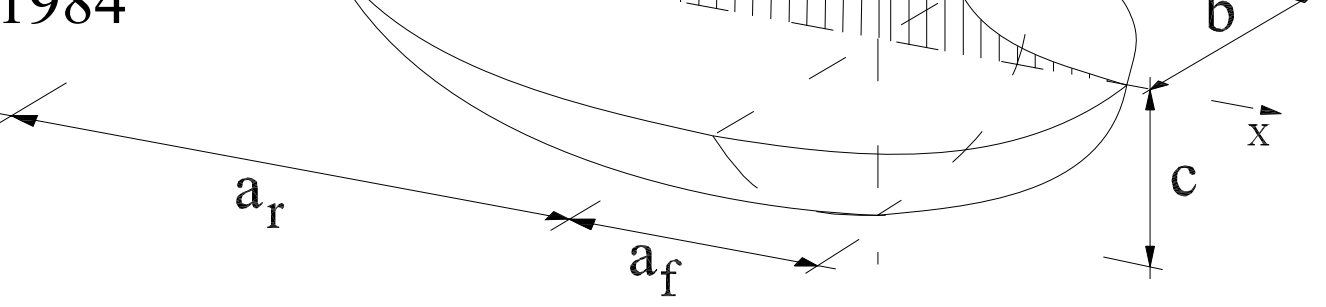
- Diffusion de la chaleur dans l'assemblage (sources fictives équivalentes, Goldak, etc.)
- Source donnée, calcul du chgt de phases fusionsolidification, de l'écoulement dans le métal fondu (convection naturelle, cisaillement du gaz de protection), diffusion dans le solide
- Calcul de l'arc électrique, de l'écoulement gazeux (vapeurs métalliques, gaz de protection) et du métal fondu, diffusion dans le solide



Modèle des sources fictives équivalentes

• Objectif: calculer un champ thermique équivalent dans l'assemblage à faible coût pour les calculs thermo-métallurgico-mécanique (ellipsoïde pour arc, conique pour laser, etc.)

• Modèle : Goldak, 1984

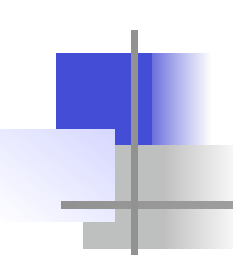


 $\mathbf{A} \mathbf{Z}$

Q(x,y,z)

$$q_f(x,y,z) = Q_0 \frac{6\sqrt{3}f_f}{a_{\xi}bc\pi^{3/2}} exp(\frac{-3x^2}{a_{\xi}^2}) exp(\frac{-3y^2}{b^2}) exp(\frac{-3z^2}{c^2})$$

$$q_r(x,y,z) = Q_0 \frac{6\sqrt{3}f_r}{a_{\xi}bc\pi^{3/2}} exp(\frac{-3x^2}{a_{\xi}^2}) exp(\frac{-3y^2}{b^2}) exp(\frac{-3z^2}{c^2})$$



Modèle détaillé dans l'assemblage

- Objectif : affiner les simulations du champ de température dans l'assemblage (les échanges avec l'extérieur sont modélisés)
- Modèle : changement de phases solide-liquide, écoulement dans le métal en fusion (convection naturelle, cisaillement du gaz de protection), conduction dans le solide, échanges avec l'extérieur

Équations gouvernantes du problème

$$\left[\rho_0 \frac{\overrightarrow{dV}}{dt} = \operatorname{div} \left(\overrightarrow{\overline{\sigma}} \right) + \rho (\overrightarrow{T}) \overrightarrow{g} + \overrightarrow{f}^{v} + \overrightarrow{f}^{v} = 0 \right] \text{ et } \left[\operatorname{div} \left(\overrightarrow{V} \right) = 0 \right]$$

$$\overline{\overline{\sigma}} = -p\overline{\overline{1}} + \mu(T) \left(\overrightarrow{grad}(\overrightarrow{V}) + \left(\overrightarrow{grad}(\overrightarrow{V}) \right)^T \right)$$
 Fluide Newtonien avec viscosité fonction de la température
$$\rho(T) = \rho_0 \left(1 - \beta(T - T_0) \right)$$
 Boussinesq

$$\rho(T) = \rho_0 \left(1 - \beta (T - T_0) \right)$$
 Boussinesq

$$\vec{f}^{\text{Decry}} = \frac{\mu_0}{K} (\vec{V} - \vec{V}^{\text{S}}) \quad \text{Darcy avec une perméabilité fonction } K = K_0 \left(\frac{f_L^3}{1 - f_L^2} \right)$$

$$\overrightarrow{T} = \frac{\gamma}{R} \overrightarrow{n} + \frac{d\gamma}{dT} \overrightarrow{grad}_s(T) \quad \text{avec} \quad \overrightarrow{grad}_s(T) = \overrightarrow{grad}(T) - (\overrightarrow{n} \cdot \overrightarrow{grad}(T)) \overrightarrow{n}$$

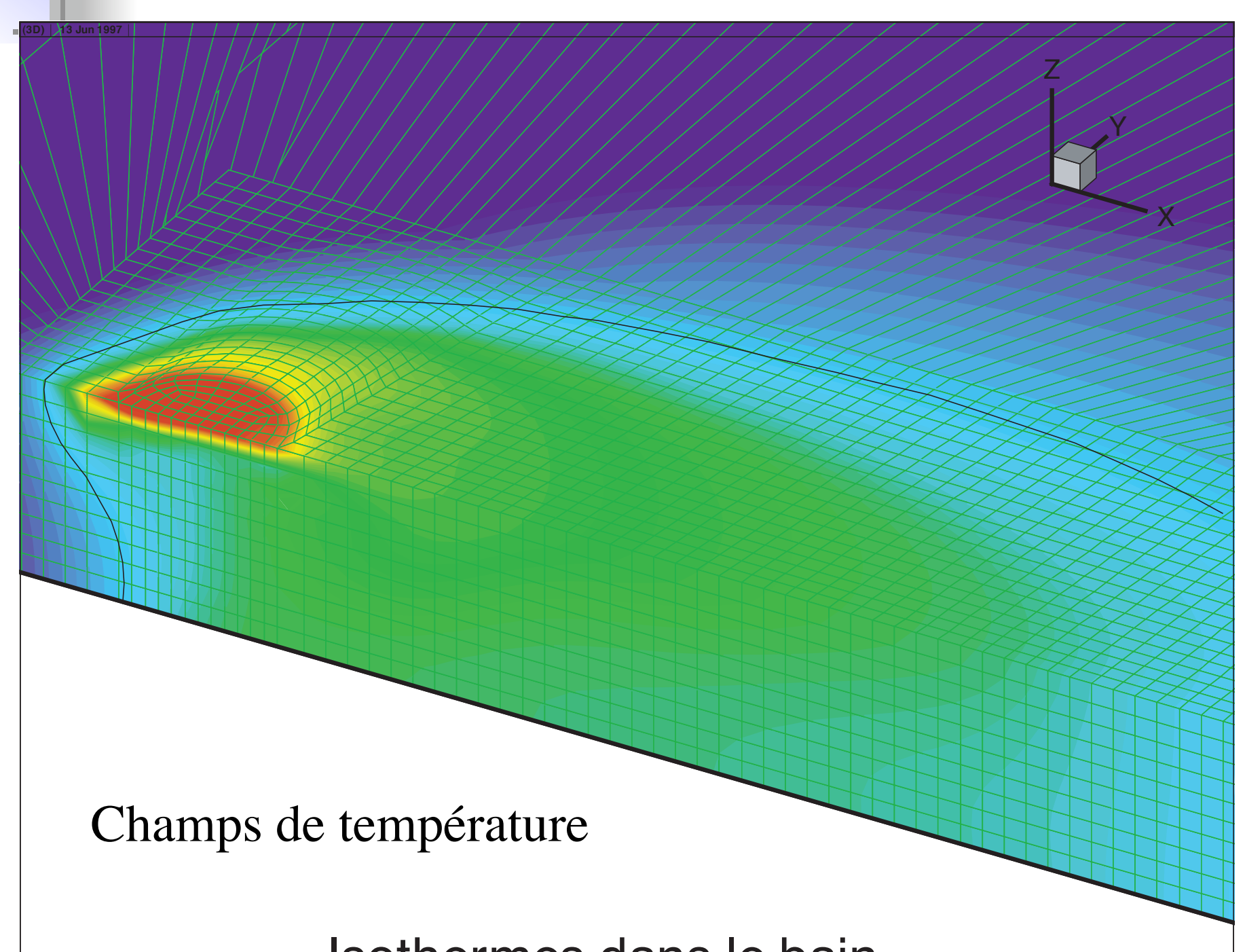
$$\rho_0 C_P \frac{dT}{dt} = -\text{div} \left(\overrightarrow{q} \right) - \rho_0 \frac{d\Delta H}{dt} + Q$$

$$\vec{q} = -k \overrightarrow{grad}(T)$$
 Fourrier $\Delta H = L f_L$ Enthalpie latente

Flux radiatif à la surface libre : $\vec{q} = \sigma \epsilon (T^4 - T_P^4)$

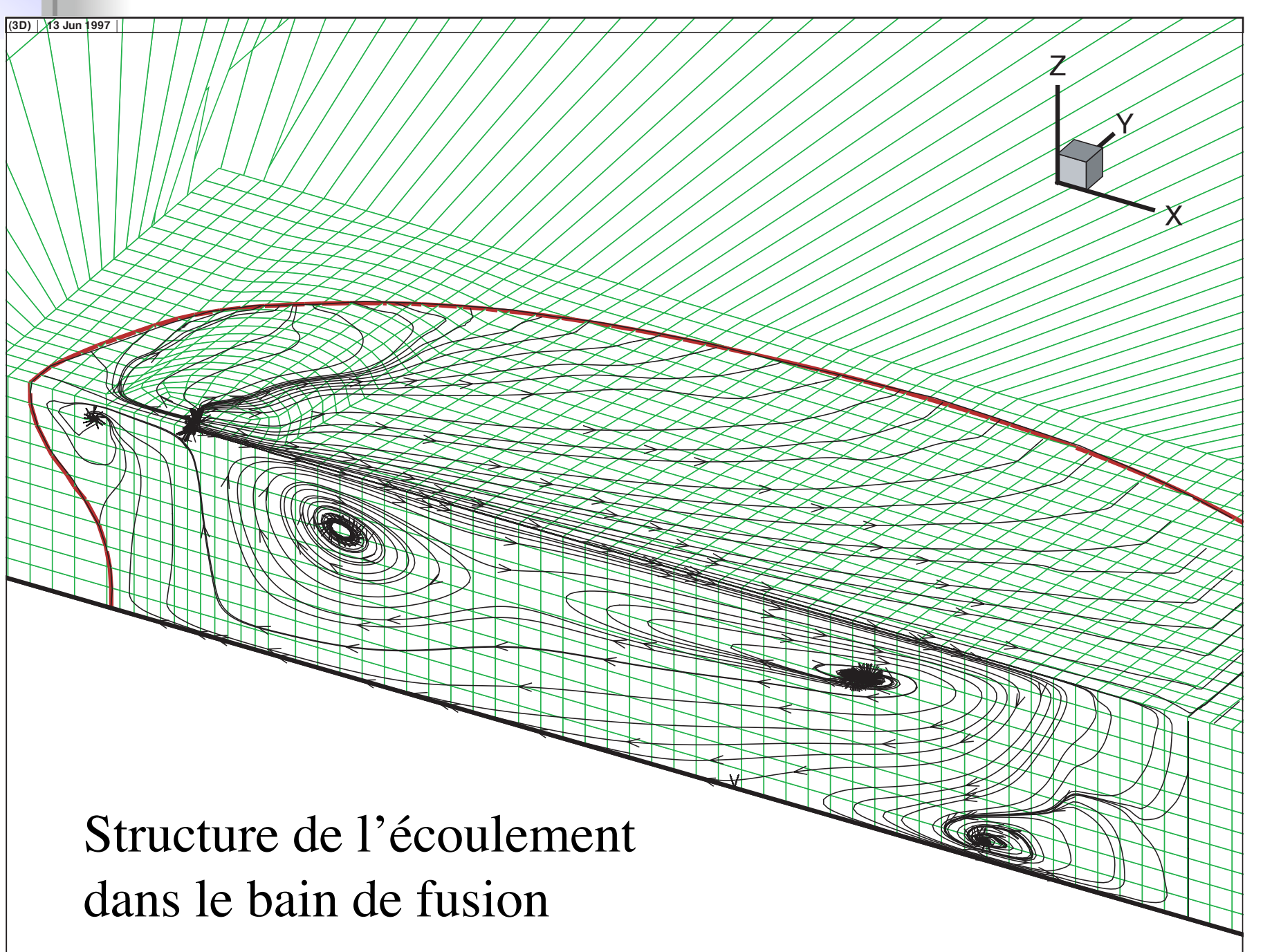


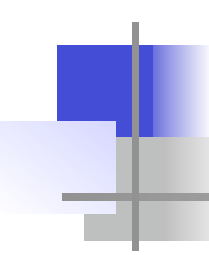
Exemple de modélisation de soudage à l'arc



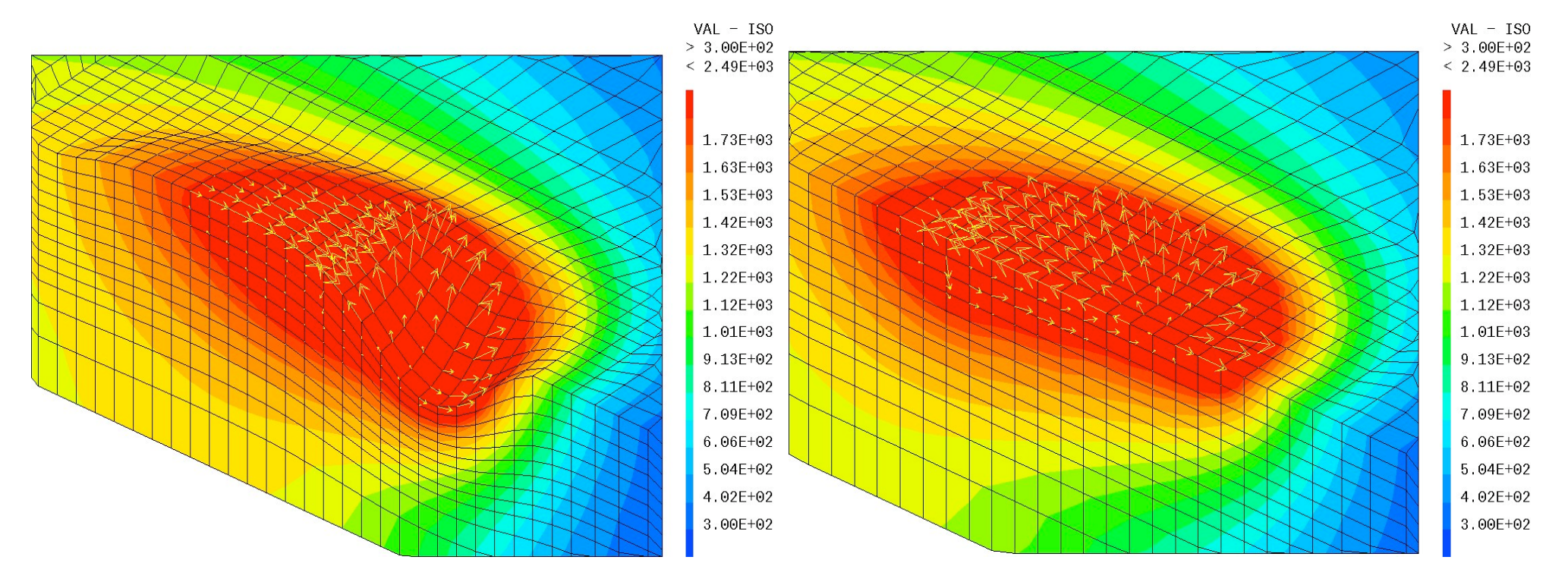


Exemple de modélisation de soudage à l'arc (2)





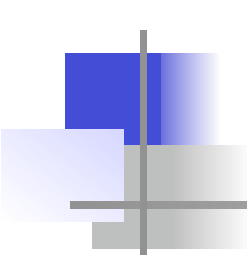
Simulations avec ou sans surface libre: Xiaofei Kong



Modèle avec la surface libre

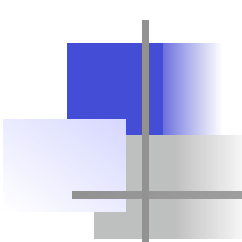
Modèle sans surface libre

Model	T_{max} (K)	$u_{max} \atop (m.s^{-1})$	$v_{max} \ (m.s^{-1})$	$w_{max} \\ (m.s^{-1})$		Depth (mm)	Volume (mm^3)
With free surface	2486	0.31	0.32	0.15	3.60	2.36	70.6
Without free surface	2706	0.18	0.23	0.06	3.60	1.50	51.7

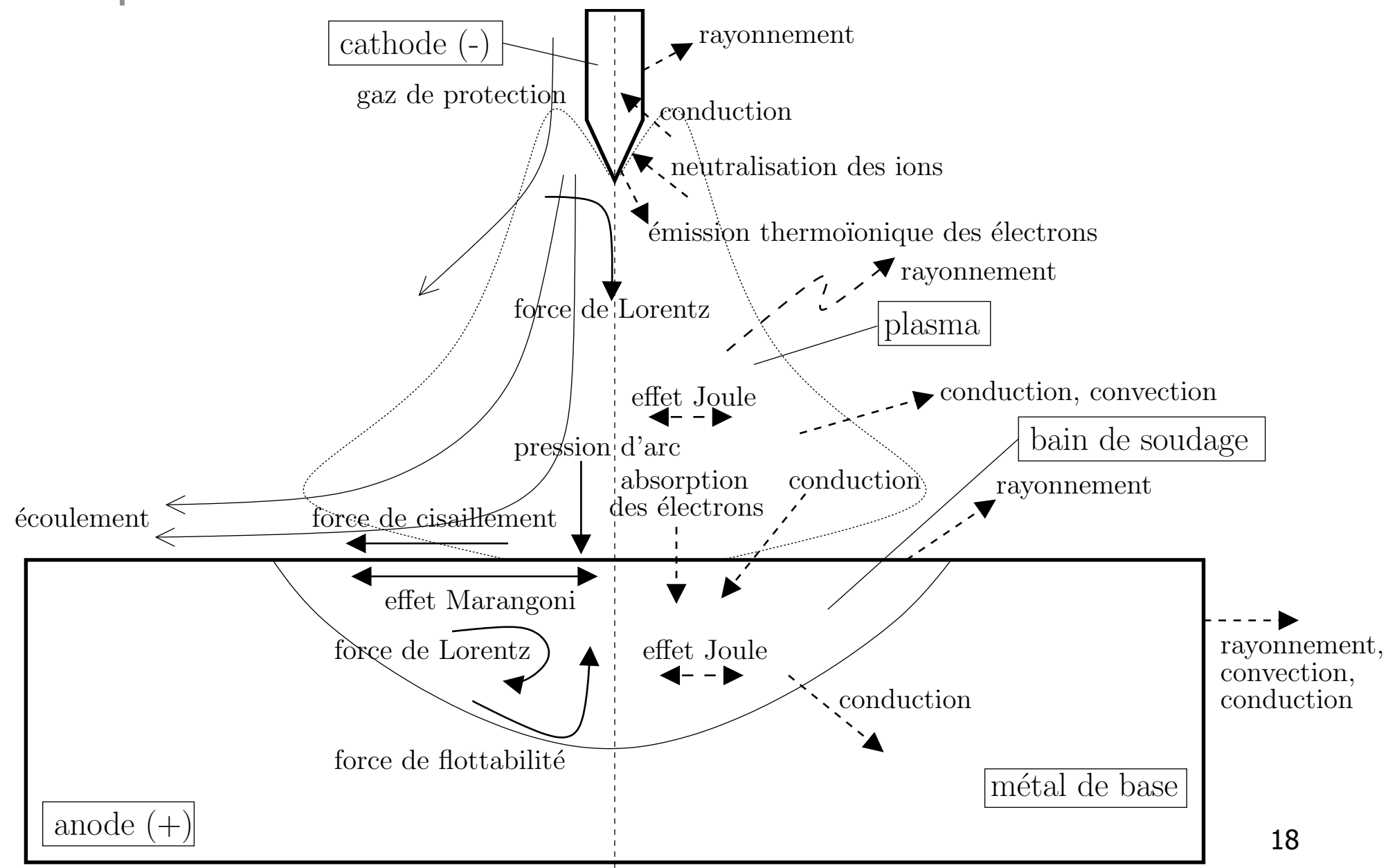


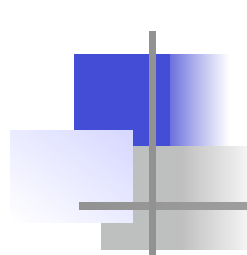
Modélisations multi-physiques

- Objectifs : s'affranchir des modèles de dépôt d'énergie, d'échanges avec l'extérieur, caractériser les phénomènes physiques liés aux paramètres du procédé de soudage (puissance, vitesse de soudage, débit gaz de protection, matériaux, etc.);
- Modèle : calcul de l'arc, de l'écoulement du gaz de protection, changement de phases solide-liquide, écoulement dans le métal en fusion (convection naturelle), conduction dans le solide
- À destination des modèles :
 - thermo-métallurgico-mécanique ;
 - réduits pour des études paramétriques.



Modélisations multi-physiques: Michel Brochard





Equations gouvernant le problème dans l'arc

Equations de conservation :

$$\rho \nabla \cdot \mathbf{u} + \mathbf{u} \cdot \nabla \rho = 0 \qquad \text{sur } \Omega_{plasma}
\rho (\nabla \mathbf{u}) \mathbf{u} + \nabla p' - \nabla \cdot \overline{\tau} = (-\sigma \nabla \phi) \times \mathbf{B} \qquad \text{sur } \Omega_{plasma}
\rho C_p \mathbf{u} \cdot \nabla T + \nabla \cdot \mathbf{q} = \sigma \nabla \phi \cdot \nabla \phi - 4\pi \varepsilon_n \qquad \text{sur } \Omega_{plasma}
\nabla \cdot (\sigma \nabla \phi) = 0 \qquad \text{sur } \Omega_{plasma}
\nabla \times \mathbf{B} = -\mu_0 \sigma \nabla \phi \qquad \text{sur } \Omega_{plasma}
\nabla \cdot \mathbf{B} = 0 \qquad \text{sur } \Omega_{plasma}$$

Conditions aux limites :

$$\mathbf{u} = \mathbf{s}_1$$
 ou $(\bar{\tau} - p'\mathcal{I}) \cdot \mathbf{n} = \mathbf{s}_2$ sur Γ_{plasma} $T = s_3$ ou $\mathbf{q} \cdot \mathbf{n} = s_4$ sur Γ_{plasma} $\phi = s_5$ ou $\mathbf{j} \cdot \mathbf{n} = -\sigma \nabla \phi \cdot \mathbf{n} = s_6$ sur Γ_{plasma} $\mathbf{B} \times \mathbf{n} = \mathbf{s}_7$ ou $\mathbf{B} \cdot \mathbf{n} = s_8$ sur Γ_{plasma}



Equations gouvernant le problème dans l'anode

Equations de conservation :

$$\nabla \cdot \mathbf{u} = 0 \qquad \text{sur } \Omega_{anode}$$

$$\rho_{\text{réf}} (\nabla \mathbf{u}) \mathbf{u} + \nabla p'' - \nabla \cdot \bar{\tau}' = (-\sigma \nabla \phi) \times \mathbf{B} - \rho \beta (T - T_{\text{réf}}) \mathbf{g}$$

$$-c \frac{(1 - f_l)^2}{f_l^3 + b} \mathbf{u} \qquad \text{sur } \Omega_{anode}$$

$$\rho C_p \mathbf{u} \cdot \nabla T + \nabla \cdot \mathbf{q} = \sigma \nabla \phi \cdot \nabla \phi \qquad \text{sur } \Omega_{anode}$$

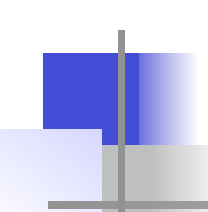
$$\nabla \cdot (\sigma \nabla \phi) = 0 \qquad \text{sur } \Omega_{anode}$$

$$\nabla \times \mathbf{B} = -\mu_0 \sigma \nabla \phi \qquad \text{sur } \Omega_{anode}$$

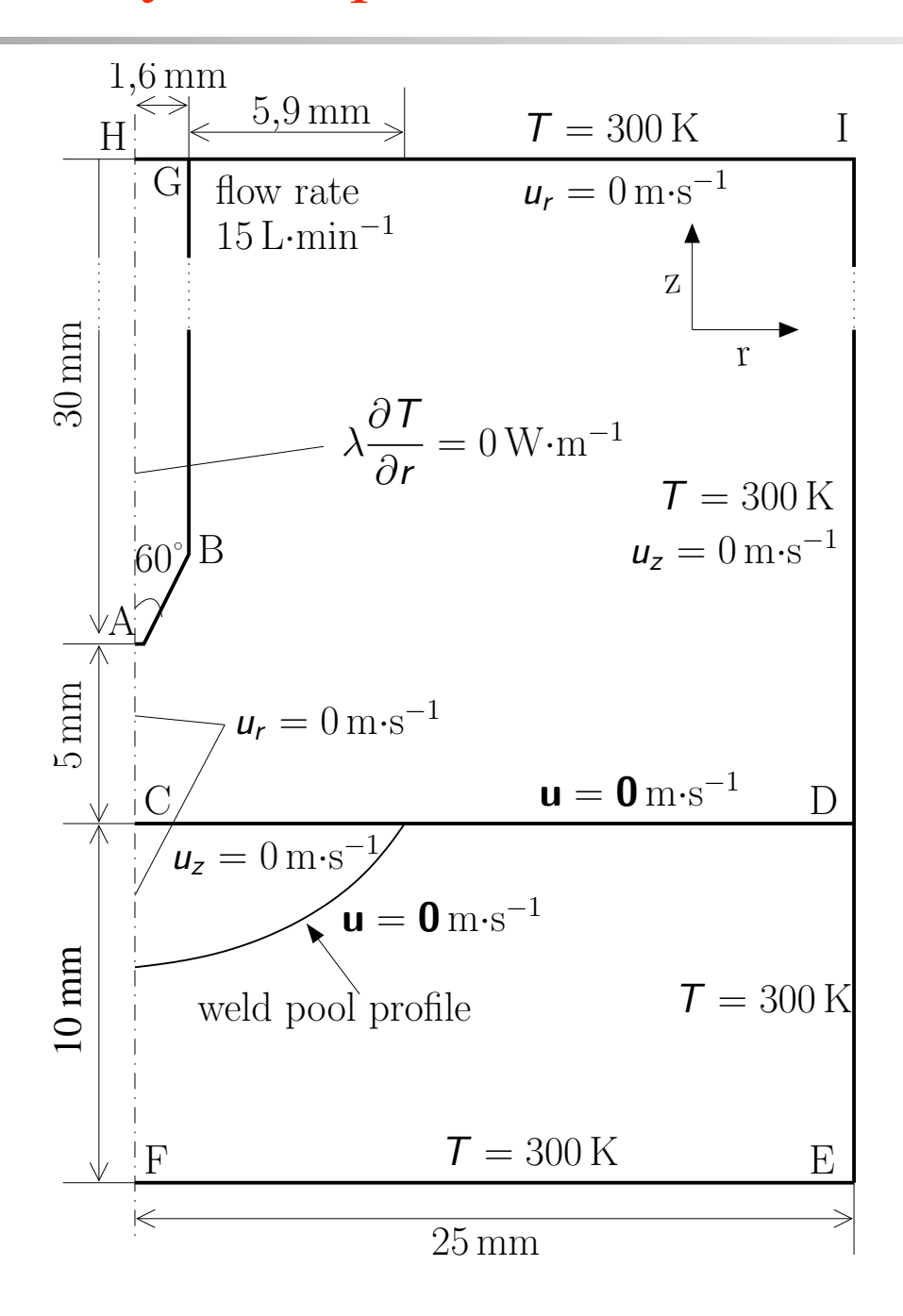
$$\nabla \cdot \mathbf{B} = 0 \qquad \text{sur } \Omega_{anode}$$

Conditions aux limites:

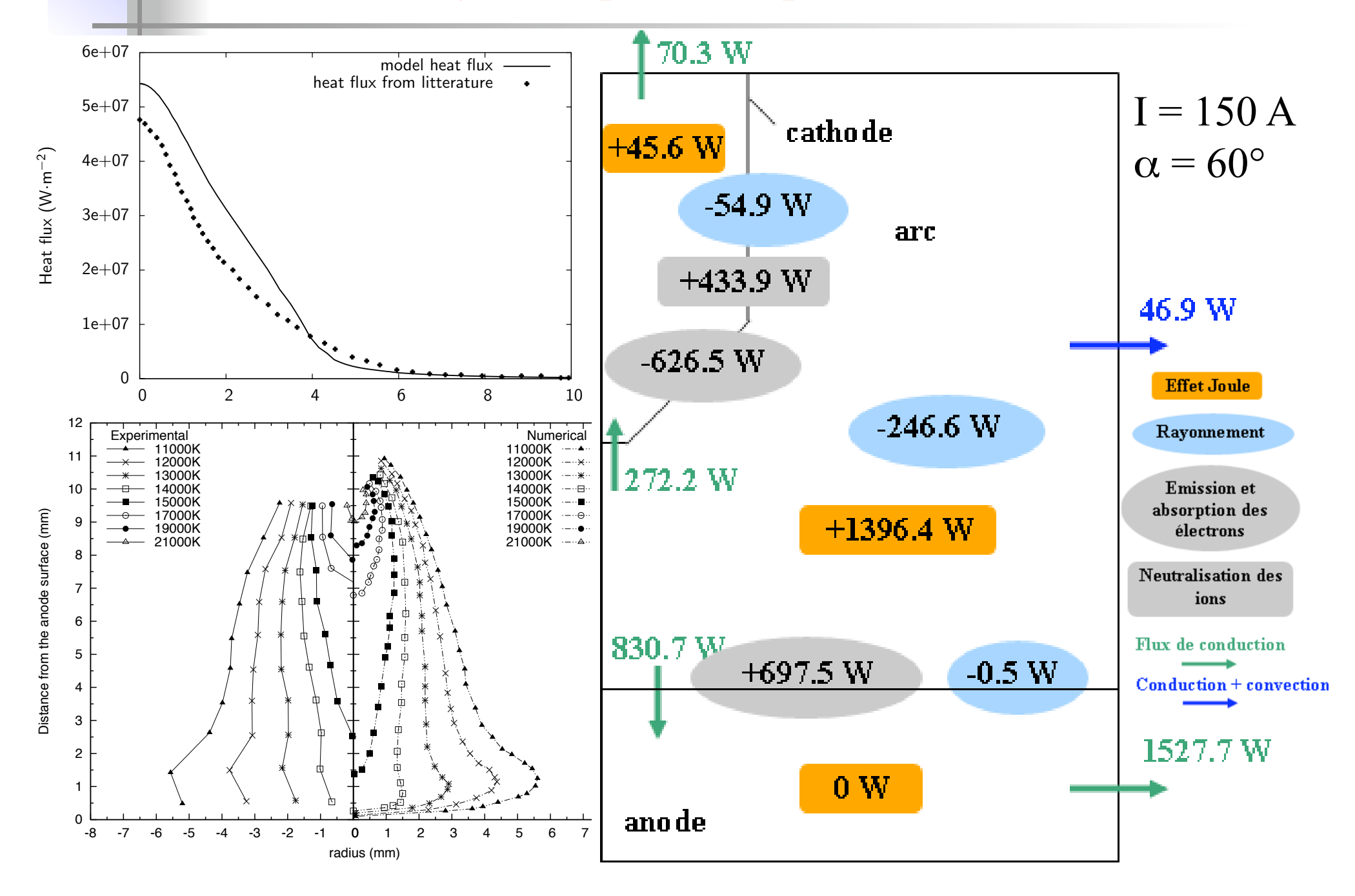
$$\mathbf{u} = \mathbf{s}_{9}$$
 ou $(\bar{\tau}' - p''\mathcal{I}) \cdot \mathbf{n} = \mathbf{s}_{10}$ sur Γ_{anode}
 $T = s_{11}$ ou $\mathbf{q} \cdot \mathbf{n} = s_{12}$ sur Γ_{anode}
 $\phi = s_{13}$ ou $\mathbf{j} \cdot \mathbf{n} = -\sigma \nabla \phi \cdot \mathbf{n} = s_{14}$ sur Γ_{anode}
 $\mathbf{B} \times \mathbf{n} = \mathbf{s}_{15}$ ou $\mathbf{b} \cdot \mathbf{n} = s_{16}$ sur Γ_{anode} 20

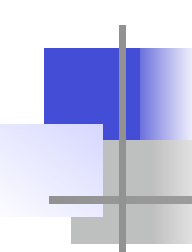


Modèle axisymétrique : domaine de calcul et CL

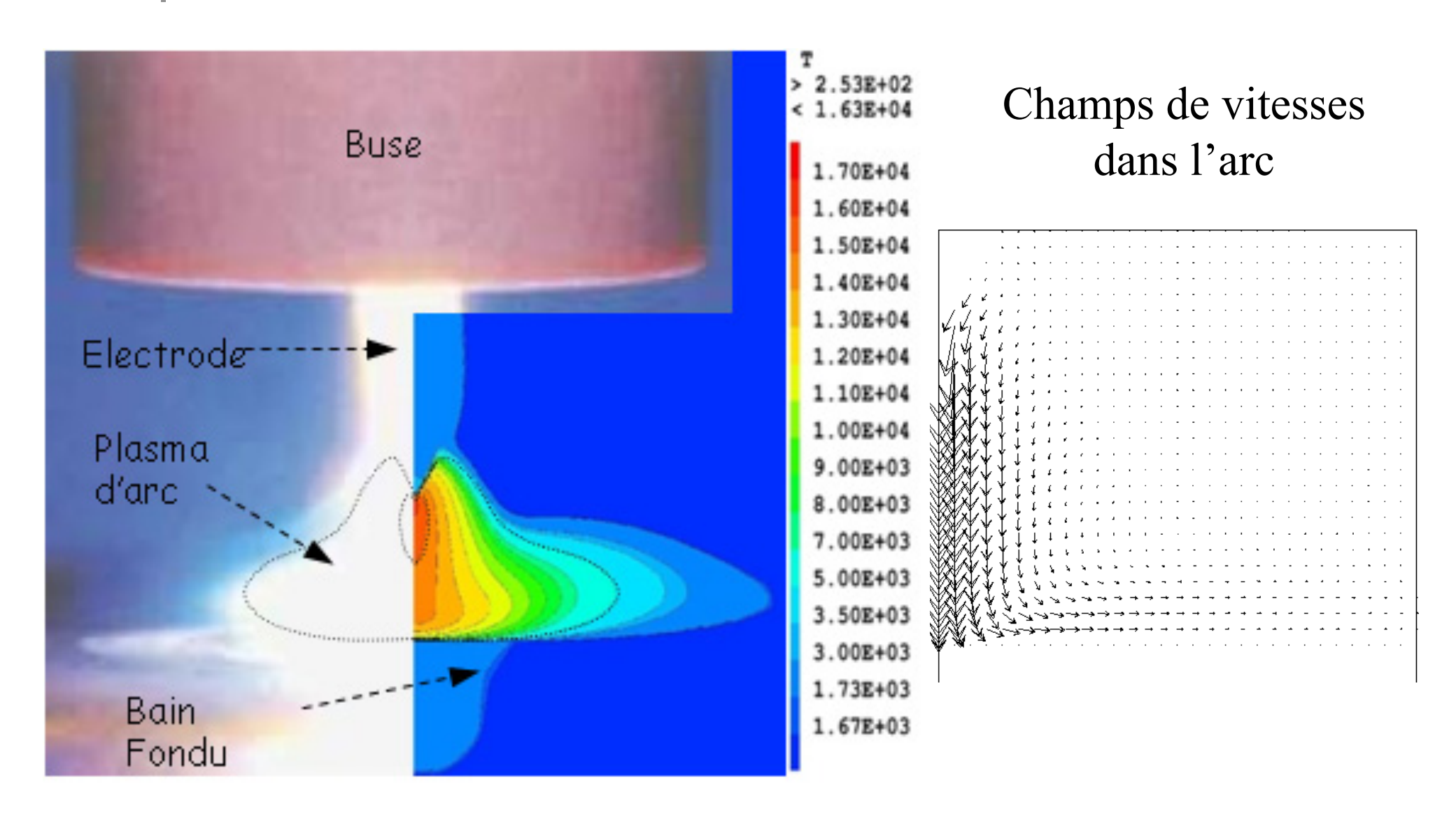


Modèle axisymétrique : comparaisons et validations

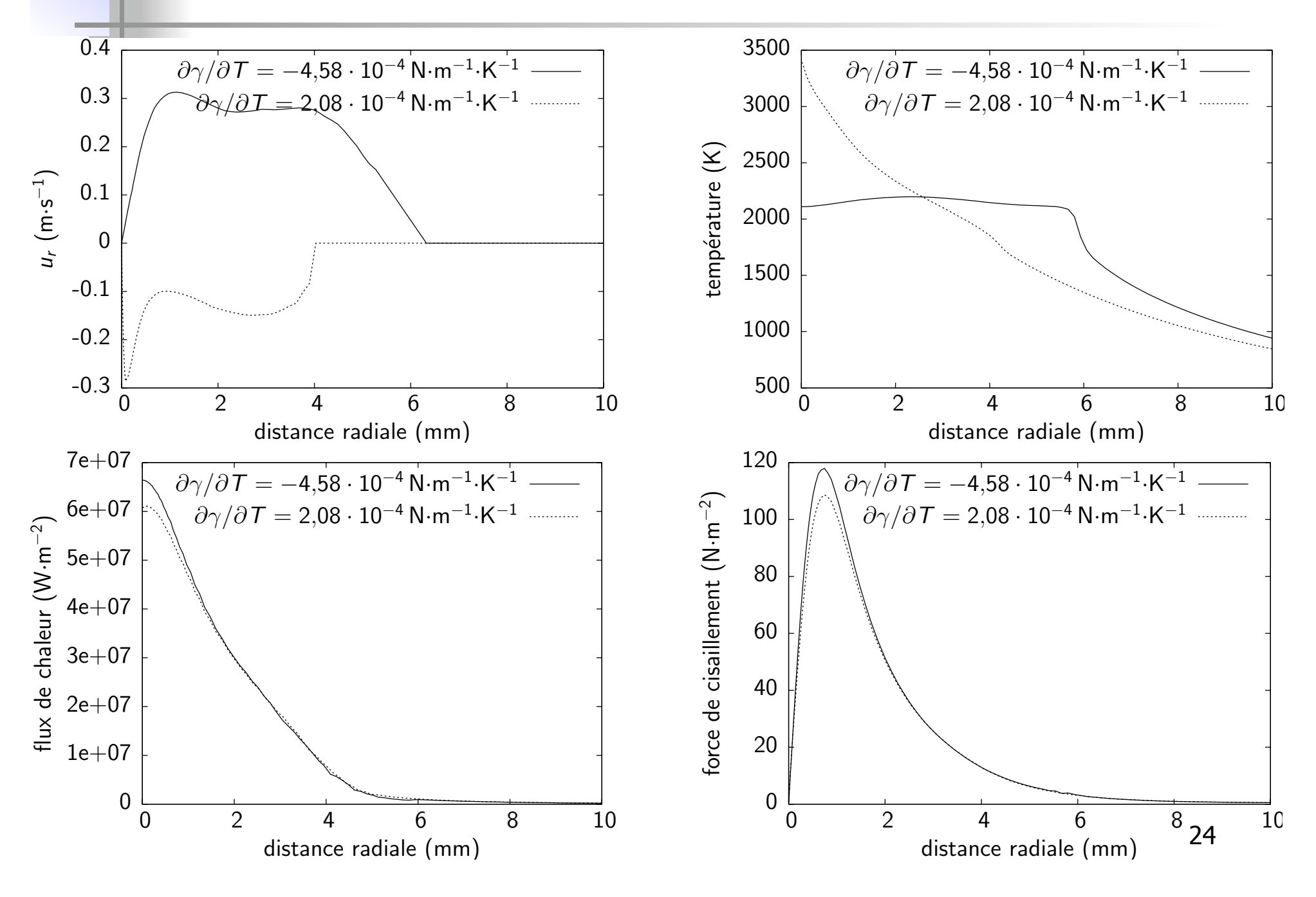


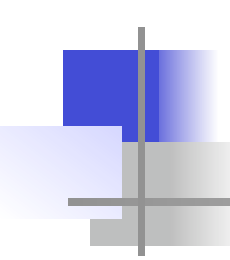


Quelques résultats avec un calcul axisymétrique



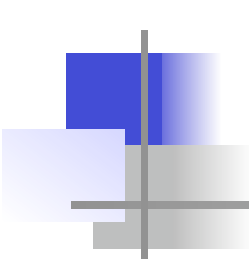
Quelques résultats avec un calcul axisymétrique





Les apports de la thermo-hydraulique pour la simulation numérique du soudage

- Compréhension des mécanismes d'interaction entre la source (cathode, arc), l'environnement (gaz de protection) et les pièces à assembler : optimisation des procédés
- Développement de modèles de connaissance pour la construction et la validation de modèles réduits ou de modèles de sources fictives équivalentes produisant un champ thermique pour les calculs de thermométallurgico-mécanique



Les limites de ces modèles

- Modèles physiques et numériques complexes;
- Propriétés physiques difficilement accessibles : hautes températures, alliages (composition, etc.);
- Conditions aux limites du domaine de calcul non académiques (porte-pièce, gaz de protection, plasma, etc.);
- Modèles numériques coûteux (plusieurs dizaines heures de calcul pour reproduire quelques secondes du procédé, t_cpu_multiphysique ≈ 100 t_cpu_sources_fictives).

Conclusions

- Choix pragmatique de modélisation, dilemme : résoudre
 - Avec précision un problème physique simpliste ;
 - Grossièrement un problème physique très complexe, mais plus réaliste
 pour la compréhension et l'optimisation des procédés de soudage par fusion;
- Validations des principales composantes des modèles numériques (phénomènes physiques impliqués);
- Ces modèles fournissent les champs et cinétiques thermiques pour les modèles thermo-métallurgico-mécanique;
- Ils constituent des modèles de « connaissances » pour la réalisation d'études paramétriques avec des modèles réduits (ou simplifiés) ;
- Pour améliorer la prédictibilité de ces modèles multi-physiques :
 - Propriétés physiques variables ; écoulements turbulents ; évaporation du métal liquide pour les hautes densité de flux, etc.